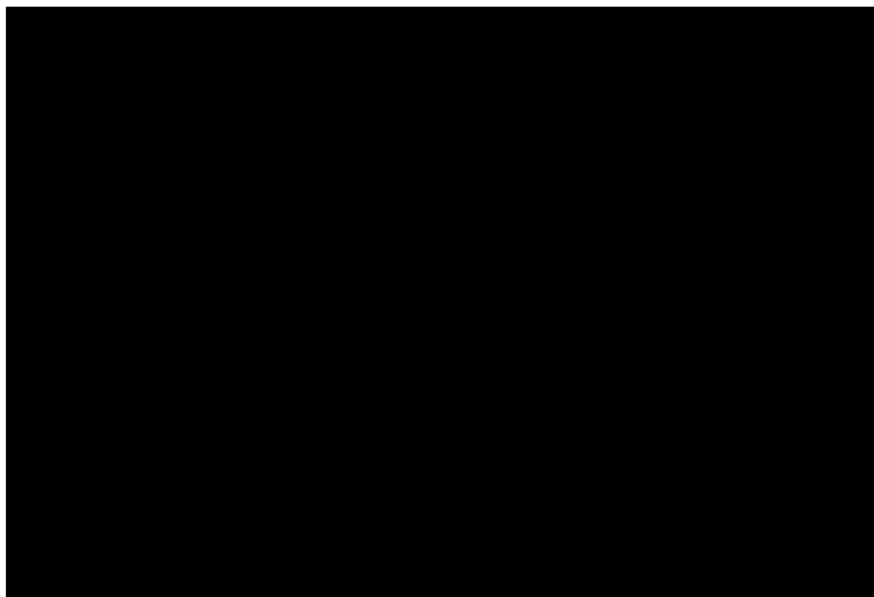




AB 1294



SPRAWOZDANIE Z BADAŃ PÓL ELEKTROMAGNETYCZNYCH W OTOCZENIU STACJI BAZOWEJ TELEFONII KOMÓRKOWEJ SIECI P4 DLA POTRZEB OCHRONY LUDZI I ŚRODOWISKA

| | | | |
|------------------------------|---|--------------------------|----------------------------|
| Nr stacji | Miejsce wykonania pomiarów: | Data wykonania pomiarów: | Data wydania sprawozdania: |
| WOD2018D | Gorzyce, ul. Ogrodowa 1 | 2024-04-24 | 2024-04-25 |
| Zleceniodawca: | P4 Sp. z o.o. ul. Wynalazek 1, 02-677 Warszawa | | |
| Nr ewidencyjny sprawozdania: | SP_2024-04_006-21-S_WOD2018D | | |
| Sprawozdanie wykonała: | Sprawdził: | Autoryzował/Data: | |
| | | | |

1. Wstęp

Badania wykonano na podstawie umowy z dnia 2018-08-31 pomiędzy firmą **Laboratorium Anteo sp. z o.o., ul. Chryzantem 23/1, 41-700 Ruda Śląska**, a firmą **P4 Sp. z o.o., ul. Wynałazek 1, 02-677 Warszawa**, przekazanej do realizacji Laboratorium Anteo.

Sprawozdanie przedstawia wyniki sprawdzenia dotrzymania dopuszczalnych poziomów pól elektromagnetycznych w środowisku w otoczeniu instalacji - stacji bazowej **WOD2018D** będącej obiektem radiokomunikacyjnym P4 Sp. z o.o., w miejscach dostępnych dla ludności w otoczeniu ww. instalacji.

Wyniki pomiarów odnoszą się wyłącznie do istniejącej konfiguracji instalacji antenowej. Każda zmiana konfiguracji o ile zmiana ta może mieć wpływ na zmiany poziomów pól elektromagnetycznych wiąże się z koniecznością wykonania nowego badania

Laboratorium badawcze akredytowane przez PCA, Nr AB1294. Data ważności akredytacji: do 2027-10-27. Zakres wykonywanych przez laboratorium badań podany jest pod adresem www.pca.gov.pl.

Akredytacja Laboratorium w odniesieniu do normy ISO/IEC 17025:2018-02 oznacza spełnienie wymagań dotyczących kompetencji technicznych i systemu zarządzania, koniecznych dla zapewnienia wiarygodnych technicznie wyników badań.

2. Metoda badań

- Załącznik do rozporządzenia Ministra Klimatu z dnia 17 lutego 2020 r. *Sposoby sprawdzania dotrzymywania dopuszczalnych poziomów pól elektromagnetycznych w środowisku (Dz. U. 2022, poz. 2630)*.

3. Akty prawne

- Obwieszczenie Ministra Klimatu i Środowiska z dnia 21 listopada 2022 r. w sprawie ogłoszenia jednolitego tekstu rozporządzenia Ministra Klimatu w sprawie sposobów sprawdzania dotrzymywania dopuszczalnych poziomów pól elektromagnetycznych w środowisku (Dz. U. 2022, poz. 2630).
- Rozporządzenie Ministra Zdrowia z dnia 17 grudnia 2019 r. w sprawie dopuszczalnych poziomów pól elektromagnetycznych w środowisku (Dz. U. 2019, poz. 2448).

4. Odstępstwa/ograniczenia i uwarunkowania metody badawczej

Brak odstępstw/ograniczeń metody badawczej.

5. Lokalizacja obiektu badań

Badany obiekt znajduje się w miejscowości Gorzyce, ul. Ogrodowa 1
Współrzędne geograficzne obiektu: 18°24'05.62"E, 49°57'27.41"N

6. Opis badania

Badany obiekt jest obiektem radiokomunikacyjnym sieci komórkowej (radiowa stacja bazowa telefonii mobilnej w sieci o przeznaczeniu publicznym). Anteny zainstalowano na kościele. Na obiekcie zainstalowano urządzenia pracujące w pasmach częstotliwości 2600MHz, 2100MHz, 1800MHz, 900MHz, 800MHz oraz radiolinii 32GHz, 23GHz. Pomiarów pól elektromagnetycznych zostały wykonane w szczególności w tych miejscach, w których na podstawie przeprowadzonych obliczeń, stwierdzono występowanie w danych zakresach częstotliwości pól elektromagnetycznych o poziomach zbliżonych do dopuszczalnych. Na kierunku zbliżonym do azymutu anten pomiarów wykonano do obliczonej odległości występowania pól elektromagnetycznych o najwyższym poziomie w miejscach dostępnych dla ludności, pochodzących z badanej instalacji. Pomiarów wykonano w odległości nie mniejszej niż 0,3 m od urządzeń, obiektów i elementów metalowych.

Wszelkie dane dotyczące źródeł promieniowania (min. wysokość anten, częstotliwość pracy) oraz współrzędne geograficzne obiektu pochodzą od zlecniodawcy.

Badanie zostało przeprowadzone w godz. od 12:15 do 13:45 przez:

Marcin Wagner – Specjalista ds. pomiarów PEM

7. Warunki atmosferyczne

| | | |
|-----------------------|---------------|------------|
| Temperatura powietrza | Przed: 7,1° C | Po: 7,2° C |
| Wilgotność powietrza | Przed: 60,8% | Po: 60,0% |

Brak opadów atmosferycznych w czasie przeprowadzania badania.

Pomiary zostały wykonane przy temperaturze i wilgotności względnej nie wyższej niż dopuszczalna specyfikacja miernika.

8. Parametry techniczne obiektu badań

Parametry techniczne przekazane przez zlecniodawcę.

Tabela nr 1 – Parametry systemu nadawczo – odbiorczego pracującego w paśmie 2600MHz, 2100MHz, 1800MHz, 900MHz, 800MHz

Tabela nr 2 – Parametry linii radioliniowej

Parametry systemu nadawczo odbiorczego pracującego w paśmie – 2600MHz, 2100MHz, 1800MHz, 900MHz, 800MHz – tabela 1

| Charakterystyka promieniowania | | | | kierunkowa | | | | | |
|---------------------------------|---------------|------------------------|------------|---|-------------|--------------------|---------------------|---------------|---------------|
| Rzeczywisty czas pracy [h/dobę] | | | | Całodobowa 24h | | | | | |
| Warunki pracy | | | | Znamionowe | | | | | |
| Rodzaj wytwarzanego pola | | | | stacjonarne | | | | | |
| Lp. | Typ nadajnika | Antena Producent / Typ | Azymut [°] | Wysokość środka elektr. anteny [m n.p.t.] | Pasmo [Mhz] | Kąt nachylenia [°] | EIRP dla anteny [W] | LON | LAT |
| 1 | DBS3xxx/5xxx | Huawei ATR451709 | 0 | 33,7 | 800 | 0 - 11 | 9411 | 18°24'05.62"E | 49°57'27.41"N |
| | 2600 | | | | 0 - 10 | 18°24'05.62"E | | 49°57'27.41"N | |
| 2 | DBS3xxx/5xxx | Huawei AQU4518R25 | 0 | 25,6 | 900 | 0 - 10 | 16828 | 18°24'05.62"E | 49°57'27.41"N |
| | 1800 | | | | 2 - 12 | 18°24'05.62"E | | 49°57'27.41"N | |
| | 2100 | | | | 2 - 12 | 18°24'05.62"E | | 49°57'27.41"N | |
| 3 | DBS3xxx/5xxx | Huawei ATR451709 | 90 | 33,7 | 800 | 0 - 11 | 9411 | 18°24'05.62"E | 49°57'27.41"N |
| | 2600 | | | | 0 - 10 | 18°24'05.62"E | | 49°57'27.41"N | |
| 4 | DBS3xxx/5xxx | Huawei AQU4518R25 | 90 | 25,6 | 900 | 0 - 10 | 16828 | 18°24'05.62"E | 49°57'27.41"N |
| | 1800 | | | | 2 - 12 | 18°24'05.62"E | | 49°57'27.41"N | |
| | 2100 | | | | 2 - 12 | 18°24'05.62"E | | 49°57'27.41"N | |
| 5 | DBS3xxx/5xxx | Huawei ATR451709 | 180 | 33,7 | 800 | 0 - 11 | 9411 | 18°24'05.62"E | 49°57'27.41"N |
| | 2600 | | | | 0 - 10 | 18°24'05.62"E | | 49°57'27.41"N | |
| 6 | DBS3xxx/5xxx | Huawei AQU4518R25 | 180 | 25,6 | 900 | 0 - 10 | 16828 | 18°24'05.62"E | 49°57'27.41"N |
| | 1800 | | | | 2 - 12 | 18°24'05.62"E | | 49°57'27.41"N | |
| | 2100 | | | | 2 - 12 | 18°24'05.62"E | | 49°57'27.41"N | |
| 7 | DBS3xxx/5xxx | Huawei ATR451709 | 270 | 33,7 | 800 | 0 - 11 | 9411 | 18°24'05.62"E | 49°57'27.41"N |
| | 2600 | | | | 0 - 10 | 18°24'05.62"E | | 49°57'27.41"N | |
| 8 | DBS3xxx/5xxx | Huawei AQU4518R25 | 270 | 25,6 | 900 | 0 - 10 | 16828 | 18°24'05.62"E | 49°57'27.41"N |
| | 1800 | | | | 2 - 12 | 18°24'05.62"E | | 49°57'27.41"N | |
| | 2100 | | | | 2 - 12 | 18°24'05.62"E | | 49°57'27.41"N | |

Parametry systemu nadawczo – odbiorczego linii radioliniowej – Tabela nr 2

| Charakterystyka promieniowania | | | | kierunkowa | | | | | |
|---------------------------------|------------------|---------------------------|---------------------|-------------------|---------------------|------------|------------------------|---------------|---------------|
| Rzeczywisty czas pracy [h/dobę] | | | | 24 | | | | | |
| Rodzaj wytwarzanego pola | | | | stacjonarne | | | | | |
| Linia radiowa | | | | Antena | | | | | |
| Lp. | Typ nadajnika | Częstotliwość pracy [GHz] | Moc wyjściowa [dBm] | Typ/producent | Średnica anteny [m] | Azymut [°] | Wysokość zainstal. [m] | LON | LAT |
| 1 | OPTIX RTN/HUAWEI | 23 | 21 | 0.3-23(VHLPX1-23) | 0,3 | 71 | 22,5 | 18°24'05.62"E | 49°57'27.42"N |
| 2 | OPTIX RTN/HUAWEI | 32 | 23 | 0.3-32(VHLP1-32) | 0,3 | 314 | 23,6 | 18°24'05.62"E | 49°57'27.42"N |

9. Sposób identyfikacji pola elektromagnetycznego

Niezbędnych informacji na temat źródeł pól udzielił Specjalista ds. Administracji Projektu P4 Sp. z o.o., który nie brał udziału w badaniach. Identyfikację źródeł i parametrów technicznych wykonano na podstawie analizy przekazanej ze zleceniem dokumentacji oraz obserwacji w miejscu wykonywania badań.

Z informacji zleciodawcy wynika, że podczas badania anteny użytkownika o sterowanych wiązkach zostały ustawione w sposób opisany zgodnie z punktem 13 ppkt.2 załącznika do rozporządzenia Ministra Klimatu z dnia 17 lutego 2020 r. (Dz. U. 2022 poz. 2630).

10. Opis terenu

Stacja bazowa telefonii komórkowej sieci P4 Sp. z o.o. WOD2018D zlokalizowana jest na kościele w miejscowości Gorzyce, ul. Ogrodowa 1. Anteny sektorowe są zainstalowane na wysokości 25,6m oraz 33,7m n. p. t. Urządzenia nadawczo – odbiorcze znajdują się w szafach, które umieszczone są na wewnątrz wieży kościelnej. Bezpośrednim sąsiedztwem stacji są tereny zielone, tereny użyteczności publicznej oraz zabudowa mieszkaniowa.

W badanym środowisku zidentyfikowano inne urządzenia/instalacje mogące mieć wpływ na wyniki mierzonego pola EM. Pomiary zostały przeprowadzone jako szerokopasmowe w danym zakresie częstotliwości, w związku z tym uwzględniają grupy instalacji/urządzeń emitujących pola EM o poziomach najwyższych w danym zakresie częstotliwości.

11. Sprzęt pomiarowy

Tabela nr 3 – Sprzęt pomiarowy

| Lp. | Nazwa i typ urządzenia | Numer identyfikacyjny |
|-----|---|------------------------------------|
| 1. | Zestaw pomiarowy NARDA NBM-520 wraz z sondą EF6091* | 2403/01B D-0648 2402/04B 01056 |
| 2. | Zestaw pomiarowy NARDA NBM-520 wraz z sondą EF0392* | 2403/01B D-0648 2402/12B D-0315 |
| 3. | Termohigrometr Voltcraft BL-20 TRH | 140719860 |
| 4. | Dalmierz laserowy GLM 250 VF | 007069590 |

*Zestaw pomiarowy przed wykonaniem pomiarów został sprawdzony za pomocą uniwersalnego testera sond UTEST-7

Tabela nr 4 – Szerokopasmowe mierniki pola elektromagnetycznego

| Lp. | Nazwa i typ urządzenia | Zakres pomiarowy | Numer świadectwa wzorcowania | Data następnego wzorcowania |
|-----|------------------------|--------------------------------|------------------------------|-----------------------------|
| 1. | Miernik Narda NBM-520 | Zależny od sondy | LWiMP/W/405/22** | 2024-12-13 |
| 2. | Sonda Narda EF6091 | 0,82 – 240V/m 80MHz – 90GHz | LWiMP/W/405/22** | 2024-12-13 |
| 3. | Sonda Narda EF0392 | 0,89 – 292V/m 0,1MHz – 4GHz | LWiMP/W/405/22** | 2024-12-13 |

Tabela nr 5 – Sprzęt uzupełniający

| Lp. | Nazwa i typ urządzenia | Zakres pomiarowy | Numer świadectwa wzorcowania | Data następnego sprawdzenia |
|-----|------------------------------------|---------------------------|------------------------------|-----------------------------|
| 1. | Termohigrometr Voltcraft BL-20 TRH | -20 ÷ +60°C 0 – 100%RH | 648-1652/21*** | 2024-07-15 |
| 2. | Dalmierz laserowy Bosch GLM 250 VF | 0,05 – 250m | 2239.8-M11-4180-1039/11**** | 2024-06-21 |
| 3 | Urządzenie GPS H-Target Qmini | - | - | 2024-09-09 |

***Laboratorium Pomiarowe INTROL

****Zakład Długości Kąta GUM

12. Wyniki badań

Tabela nr 6 – Wartości natężenia pola elektrycznego i magnetycznego

| Nr pionu | Opis miejsca pomiaru | Zmierzona wartość natężenie pola ² E [V/m] | Natężenie pola ³ E [V/m] | Natężenie pola ⁴ H [A/m] | Wysokość Pomiaru ⁵ [m] | Współrzędne geograficzne pionu | Wartości WME ⁶ | Wartości WMH ⁶ |
|----------|---|---|-------------------------------------|-------------------------------------|-----------------------------------|--------------------------------|---------------------------|---------------------------|
| 1 | ¹ GKP 270°, teren przy kościele | 1,3 | 1,7 | 0,004 | 1,96 | 49.95754 18.40128 | 0,06 | 0,06 |
| 2 | GKP 270°, teren przy kościele | *0,8 | 1,0 | 0,003 | 0,3-2,00 | 49.95754 18.40077 | 0,04 | 0,04 |
| 3 | GKP 180°, teren przy kościele | 1,5 | 1,9 | 0,005 | 1,77 | 49.95741 18.40143 | 0,07 | 0,07 |
| 4 | GKP 90°, cmentarz | *0,8 | 1,0 | 0,003 | 0,3-2,00 | 49.95759 18.40229 | 0,04 | 0,04 |
| 5 | GKP 90°, cmentarz | *0,8 | 1,0 | 0,003 | 0,3-2,00 | 49.95754 18.40373 | 0,04 | 0,04 |
| 6 | GKP 0°, cmentarz | 1,9 | 2,4 | 0,006 | 1,04 | 49.95798 18.40155 | 0,09 | 0,09 |
| 7 | ¹ PKP 355°, cmentarz przy ogrodzeniu domu jednorodzinnego | 2,0 | 2,5 | 0,007 | 1,89 | 49.95805 18.40130 | 0,09 | 0,09 |
| 8 | GKP 180°, teren przy zabudowie gospodarczej | 2,4 | 3,1 | 0,008 | 1,99 | 49.95729 18.40151 | 0,11 | 0,11 |
| 9 | ¹ DPP, w płaszczyźnie otworu okiennego, ul. Kościelna 14, parter | 1,9 | 2,4 | 0,006 | 1,76 | - | 0,09 | 0,09 |
| 10 | GKP 90°, teren zieleni | 1,8 | 2,3 | 0,006 | 0,49 | 49.95757 18.40449 | 0,08 | 0,08 |
| 11 | PKP 163°, teren zieleni | 1,3 | 1,7 | 0,004 | 1,99 | 49.95664 18.40188 | 0,06 | 0,06 |
| 12 | GKP 180°, teren zieleni | 2,0 | 2,5 | 0,007 | 1,98 | 49.95572 18.40152 | 0,09 | 0,09 |
| 13 | GKP 270°, teren zieleni, pobocze drogi | *0,8 | 1,0 | 0,003 | 0,3-2,00 | 49.95752 18.39867 | 0,04 | 0,04 |
| 14 | GKP 0°, przy ogrodzeniu posesji, ul Kościelna 19 | 1,3 | 1,7 | 0,004 | 1,95 | 49.95865 18.40162 | 0,06 | 0,06 |
| 15 | GKP 0°, przy ogrodzeniu posesji, ul Kościelna 24 | *0,8 | 1,0 | 0,003 | 0,3-2,00 | 49.95944 18.40155 | 0,04 | 0,04 |

* wynik poniżej dolnego zakresu pomiarowego miernika - przy wskazaniach sondy poniżej dolnego zakresu pomiarowego miernika dla punktu pomiarowego, przyjęto do obliczeń wyniku skorygowanego wartość skorelowaną z rzeczywistym wynikiem pomiaru tj. dolny zakres pomiarowy miernika 0,8 V/m.

¹ - GKP – Główny Kierunek Pomiarowy, PKP- Pomocniczy kierunek pomiarowy, DPP – Dodatkowy pion pomiarowy

² – wynik pomiaru, z uwzględnieniem współczynników Cf (charakterystyka częstotliwościowa) i Cd (charakterystyka dynamiczna).

³ - wynik pomiaru natężenia skutecznego pola elektromagnetycznego powiększony o niepewności pomiaru. Wartość chwilowa, zgodnie z pkt. 11 załącznika do rozporządzenia Ministra Klimatu z dnia 17 lutego 2020 r. (Dz. U. 2022 poz. 2630).

⁴ - wartość wyznaczona na podstawie pomiaru wartości skutecznej natężenia pola elektrycznego, z uwzględnieniem niepewności pomiaru, dla pomiarów wykonanych od źródła pól elektromagnetycznych, z zależności opisanej w pkt.3 załącznika do rozporządzenia Ministra Klimatu z dnia 17 lutego 2020 r. (Dz. U. 2022 poz.2630).

⁵- wysokość liczona jest od poziomu podłoża, gruntu

⁶ - wartości wskaźnikowe zgodnie z pkt.25 ppkt.1 załącznika do rozporządzenia Ministra Klimatu z dnia 17 lutego 2020 r. (Dz. U. 2022 poz. 2630):

$$WM_E = \frac{E}{\min(MEgr)}$$

$$WM_H = \frac{H}{\min(MHgr)}$$

gdzie:

WME (WMH) – oznacza wartość wskaźnikową poziomu emisji pól elektromagnetycznych dla miejsc dostępnych dla ludności dla składowej elektrycznej (magnetycznej) pola,

E (H) – oznacza zmierzoną wartość skuteczną natężenia pola elektrycznego E, wyrażoną w V/m, (natężenia pola magnetycznego H, wyrażonego w A/m), uśrednioną w sposób określony w przepisach wydanych na podstawie art. 122 ust. 1 ustawy z dnia 27 kwietnia 2001 r. – Prawo ochrony środowiska lub zgodnie z pkt. 11 załącznika do rozporządzenia Ministra Klimatu z dnia 17 lutego 2020 r. (Dz. U. 2022 poz. 2630).

min(MEgr), (min MHgr) – oznacza najniższą dopuszczalną wartość składowej elektrycznej (magnetycznej) pola dla objętego pomiarami zakresu częstotliwości dla miejsc dostępnych dla ludności określoną w przepisach wydanych na podstawie art. 122 ust. 1 ustawy z dnia 27 kwietnia 2001 r. – Prawo ochrony środowiska wyrażoną w V/m rozporządzeniem Min. Zdrowia z 17 grudnia 2019 roku Dz.U 2019 poz.2448.

Oszacowana niepewność rozszerzona przeprowadzonych pomiarów natężenia pola elektromagnetycznego nie przekracza 27,4 % (niepewność rozszerzona przy prawdopodobieństwie rozszerzenia ok.95% i współczynnika k=2).

Badanie wykonywano metodą dwóch sond szerokopasmowych opisaną w dokumencie Z7.4.5 Ocena możliwości realizacji metody badawczej wydanie z 2022-06-10. W każdym z pionów pomiarowych sprawdzono i wykluczono udział promieniowania radiolinii w badanym widmie, korzystając z w/w metody.

W czasie badania wykonano pomiar kontrolny. Zmienność poziomu pola elektromagnetycznego w pkt. 6 referencyjnych została uwzględniona w niepewności pomiarów.

13. Podsumowanie

Dopuszczalny poziom promieniowania, dla poszczególnych zakresów częstotliwości, charakteryzują parametry fizyczne określone w załączniku do Rozporządzenia Ministra Zdrowia z dnia 17 grudnia 2019 r. w sprawie dopuszczalnych poziomów pól elektromagnetycznych w środowisku (Dz. U. 2019, poz. 2448) – tabela nr 7.

Tabela nr 7 – Dopuszczalne poziomy pól elektromagnetycznych dla miejsc dostępnych dla ludności.

| Zakres częstotliwości pola elektromagnetycznego | Składowa elektryczna E (V/m) | Składowa magnetyczna H (A/m) | Gęstość mocy S (W/m ²) |
|---|------------------------------|------------------------------|------------------------------------|
| 0 Hz | 10000 | 2500 | ND |
| Od 0 Hz do 0,5 Hz | ND | 2500 | ND |
| Od 0,5 Hz do 50 Hz | 10000 | 60 | ND |
| Od 0,05 Hz do 1 kHz | ND | 3 / f | ND |
| Od 1 kHz do 3 kHz | 250 / f | 5 | ND |
| Od 3 kHz do 150 kHz | 87 | 5 | ND |
| Od 0,15 MHz do 1 MHz | 87 | 0,73 / f | ND |
| Od 1 MHz do 10 MHz | 87 / f ^{0,5} | 0,73 / f | ND |
| Od 10 MHz do 400 MHz | 28 | 0,073 | 2 |
| Od 400 MHz do 2000 MHz | 1,375 x f ^{0,5} | 0,0037 x f ^{0,5} | f / 200 |
| Od 2 GHz do 300 GHz | 61 | 0,16 | 10 |

Podczas badania przyjęto, jako wartości dopuszczalną poziomu pola elektromagnetycznego w środowisku wartość 2 W/m² (28 V/m), tj. wartość dopuszczalną dla dolnego zakresu pasma 400MHz - 2000MHz.

Pomiary wykonano dla średniego kąta pochylenia wiązki. Przeprowadzone badania w środowisku, w obszarze pomiarowym, w otoczeniu badanej stacji bazowej, w zmierzonych pionach pomiarowych, nie wykazały przekroczenia 60% wartości dopuszczalnych poziomów pól elektromagnetycznych. W związku z tym nie wymagane są dodatkowe pomiary dla największego i najmniejszego stosowanego lub planowanego kąta pochylenia wiązki, zgodnie z pkt 13. ppkt. 2 załącznika do rozporządzenia Ministra Klimatu z dnia 17 lutego 2020 r. (Dz. U. 2022 poz. 2630). Zgodnie z pkt 25 rozporządzenia Ministra Klimatu z dnia 17 lutego 2020 r. (Dz. U. 2022 poz. 2630), nie jest wymagane wykonanie pomiaru miernikiem selektywnym.

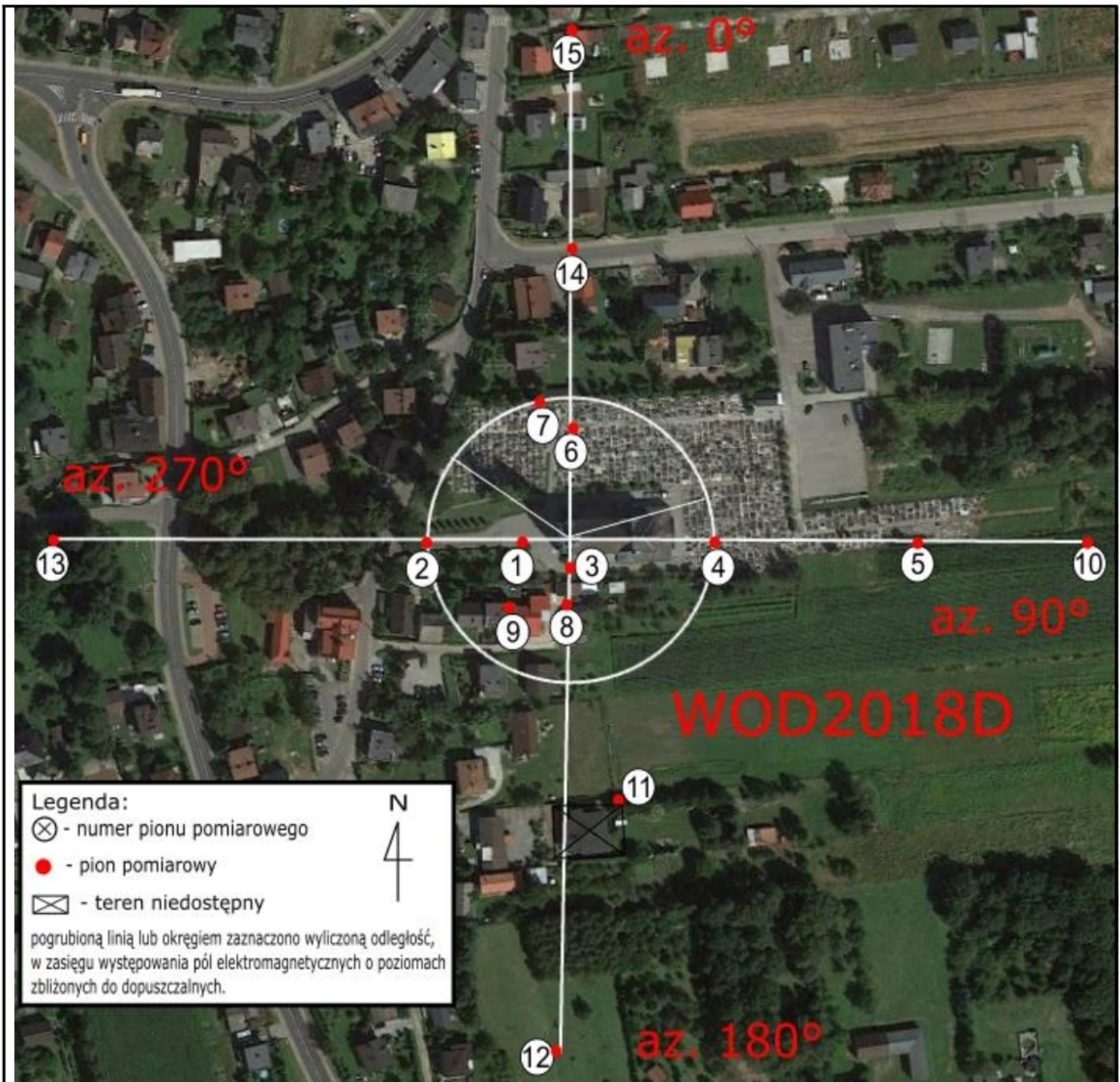
Stwierdzenie zgodności:

Na podstawie wytycznych wskazanych w obwieszczeniu Ministra Klimatu i Środowiska z dnia 21 listopada 2022 r. w sprawie ogłoszenia jednolitego tekstu rozporządzenia Ministra Klimatu w sprawie sposobów sprawdzania dotrzymywania dopuszczalnych poziomów pól elektromagnetycznych w środowisku (Dz. U. 2022, poz. 2630) oraz na podstawie otrzymanych wyników pomiarów i informacji uzyskanych od klienta, stwierdzono iż w miejscach dostępnych dla ludności do których uzyskano dostęp, w żadnym punkcie/pionie pomiarowym, w środowisku wokół stacji bazowej **WOD2018D** nie występują przekroczenia dopuszczalnych poziomów pól elektromagnetycznych, określonych w tabeli nr 7, w badanym zakresie pomiarowym od 400MHz do 90 GHz.

Dopuszczalne poziomy pól elektromagnetycznych w środowisku określone w przepisach wydanych na podstawie art.122 ust. 1 ustawy z dnia 27 kwietnia 2001 r. – Prawo ochrony środowiska uznaje się za dotrzymane w badanym obszarze pomiarowym, w zmierzonych pionach pomiarowych, gdyż w wyniku zastosowania sprawdzenia dotrzymywania dopuszczalnych poziomów pól elektromagnetycznych w środowisku, o którym mowa w pkt. 25 ppkt.1 i pkt. 26 (załącznika do rozporządzenia Ministra Klimatu z dnia 17 lutego 2020 r. Dz. U. 2022 poz. 2630), żadna z wartości wskaźnikowych nie przekracza 1.

14. Załączniki

Załącznik nr 1 – Rysunek poglądowy terenu, rozmieszczenie pionów pomiarowych na terenie wokół stacji



Koniec sprawozdania